Доклады Академии наук СССР 1972. том 205. № 6

УДК 539.1

ФИЗИЧЕСКАЯ ХИМИЯ

А. А. ЗЕМБЕКОВ, Е. Е. НИКИТИН

О ДИНАМИКЕ ГАРПУННЫХ РЕАКЦИЙ

(Представлено академиком В. Н. Кондратьевым 1 II 1972)

Под гарпунными реакциями понимаются элементарные процессы нейтральных частиц в газе, протекающие через стадию образования ионной пары, которая возникает при переходе электрона с одной молекулы на другую (1). Примером может служить реакция атома щелочного металла M с молекулой галоида X_2 , протекающая по схеме

$$M + X_2 \rightarrow M^+ X_2^- \rightarrow MX + X. \tag{1}$$

Простейшая интерпретация динамики этой реакции, позволяющая объяснить угловое распределение возникающих молекул, характерное для срывных реакций, и их сильное колебательное возбуждение основана на представлении об участии одного из атомов X в качестве «наблюдателя» (2 , 3), сохраняющего величину и направление импульса при реакции (1). При этом полное сечение реакции σ_1 определяется через расстояние $R_{\rm B}$, на котором происходит пересечение ковалентной и ионной поверхностей потенпиальной энергии

$$e^2/R_{\rm B} = I - \varepsilon_{\rm B}. \tag{2}$$

Заметим, что $R_{\rm B}$ определяется через потенциал понизации I атома M и вертикальное электронное сродство $\varepsilon_{\rm B}$ молекулы X_2 (¹, ³). Более подробное исследование углового распределения молекул, возникающих в реакциях типа (1), показывает (⁴), что образующийся в реакции атом X не является в действительности «наблюдателем», и что взаимодействие всех трех частиц в комплексе $M^+ - X_2^-$ существенно влияет на распределение энергии по степеням свободы возникающих частиц. Теоретическое выяснение механизма гарпунных реакций затруднено тем, что в настоящее время не известна достаточно подробно структура поверхности потенциальной энергии таких систем. Поэтому при исследовании динамики приходится либо пользоваться сильно упрощенными представлениями (⁵, ⁶), либо вводить модельные потенциалы (⁻, ˚). Только в последнее время появились работы по полуэмпирическому (¹) и неэмпирическому (¹о) расчетам поверхностей потенциальной энергии для гарпунных реакций.

Добавочная информация относительно динамики этих реакций может быть получена при исследовании процесса

$$M + X_2 \rightarrow M^+ X_2^- \rightarrow M^+ + X_2^-,$$
 (3)

который начинает конкурировать с реакцией (1) при достаточно высоких относительных энергиях M и X_2 . В частности, проведенные недавно эксперименты по столкновениям атомов K с молекулами Br_2 (11, 12) показали, что порог реакции (3) равен разности $I-\varepsilon_a$, где ε_a- адиабатическое электронное сродство молекулы X_2 . Ниже показано, что это обстоятельство — достаточно быстрое возрастание сечения реакции (3) над порогом, определяемым адиабатическим, а не вертикальным сродством, объясняется отклонением механизма реакции от упрощенной схемы, которая пренебрегает обменом энергией между ионом M^+ и ионом X_2^- при их тесном

сближении. Все численные расчеты, результаты которых обсуждаются ниже, выполнены для реакции К с Br_2 , для которой достаточно подробно исследованы процессы (1) и (3). На основании полученных ранее оценок для вероятностей перехода с ковалентной на ионную поверхность (5) предполагалось, что эта вероятность близка к единице при $R \simeq R_{\rm B}$, так что для выяснения динамики реакции достаточно исследовать движение системы на ионной части поверхности потенциальной энергии. В этой области потенциал U записывается в виде суммы функции Морзе для иона Br_2 — (14), кулоновского взаимодействия K^+ и Br_2 — с учетом поляризации (9) и экспоненциальных потенциалов отталкивания между K и Br с параметрами для потенциала Риттнера молекулы KBr (15). Этот потенциал справедлив в области, rде выполняется условие

$$U(R, r, \theta) \leqslant I - \varepsilon_{\text{\tiny B}}(r),$$
 (4)

причем условие равенства определяет линию пересечения ковалентной и ионной поверхности в конфигурационном пространстве системы (R — расстояние между K и Br_2 , r — межатомное расстояние в Br_2 , θ — угол между R и r). Здесь $\varepsilon_{\scriptscriptstyle B}(r)$ — вертикальное электронное сродство X_2 , рассматриваемое как функция r.

Потенциал U использовался для расчета классических траекторий изображающей точки в рамках двумерной модели столкновения. Разумеется, этот подход игнорирует все квантовомеханические эффекты, важнейшим из которых является прямой невертикальный переход $\mathrm{Br}_2(v=0) \to \mathrm{Br}_2^-(v=0)$, который в принципе может быть привлечен для описания процесса (3) вблизи порога (12), происходящего при $R \simeq R_a = e^2/(I-\varepsilon_a(r_e))$. Но оценки показывают, что матричный элемент взаимодействия между ковалентным и ионным состояниями при $R \simeq R_a$ и франк-кондоновские факторы перехода 0-0 настолько малы, что возрастание сечения над порогом не может быть объяснено туннельными переходами атомов Br_z , каковыми в сущности являются невертикальные переходы в молекуле Br_2 . Отсюда следует, что основной причиной возникновения ионов Br_2^- является обмен энергией между Br_2^- и K^+ на ионной части поверхности потенциальной энергии (13).

Динамика реакций (1) и (3) может быть проиллюстрирована движением изображающей точки по поверхности потенциальной энергии $U(R, r, \theta)$, которая для линейного расположения трех атомов схематически представлена на рис. 1. Штрих-пунктирная линия определяется уравнением (4) при $\theta = 0$. В точке A система $K + Br_2$ переходит на ионную поверхность, причем в зависимости от величины начального импульса возможны три качественно различных результата: реакция (1) — траектория (a), реакция (3) — траектория (b) и канал неупругого столкновения с возбуждением колебаний Br_2 — траектория (в). Различие между траек-. ториями (a) п (δ) показывает, что если реакция (1) может быть качественно истолкована в рамках представления об участии одного атома Br как «наблюдателя» (траектория изображающей точки определяется в основном потенциалом взаимодействия К и свободного атома Вг в молекуле КВг), то интерпретация процесса (3) требует учета сильного взаимодействия между тремя частицами. Это взаимодействие качественно можно представить как столкновение иона К+, ускоренного кулоновским потенциалом, с одним из атомов иона Br_2 , причем в результате столкновения происходит почти полная колебательная дезактивация иона Br₂-, начальное состояние которого (сильно колебательно-возбужденное) возникает в результате вертикального перехода ${\rm Br_2}(r=r_{\rm e}) \to {\rm Br_2}^-$. Конечное состояние системы $K^+ - Br_2^-$ после такого перехода соответствует точкам штрихпунктирной линии на рис. 1 (для линейного случая). В общем случае произвольной плоской конфигурации системы состояние системы после вертикального перехода определяется тремя параметрами — энергией относительного движения E, прицельным параметром b и углом θ . Решение

уравнений движения позволяет проследить эволюцию системы и классифицировать каждую траекторию как одну из указанных трех типов. Эта классификация дает возможность рассчитать сечение процесса (3) по формуле

 $\sigma_{3} = \frac{1}{N} \sum_{i} n\left(b_{i}; \theta_{i}\right) 2\pi b_{i} \Delta b_{i} \left(\frac{\Delta \theta_{i}}{2\pi}\right),$

где $n(b_i, \theta_i)$ — число траекторий, приводящих к реакции при заданных значеннях b_i и θ_i , и N — полное число траекторий. На рис. 2 представлены результаты расчета сечений $\sigma_3(E)$, и сравнение теории с экспериментом *.

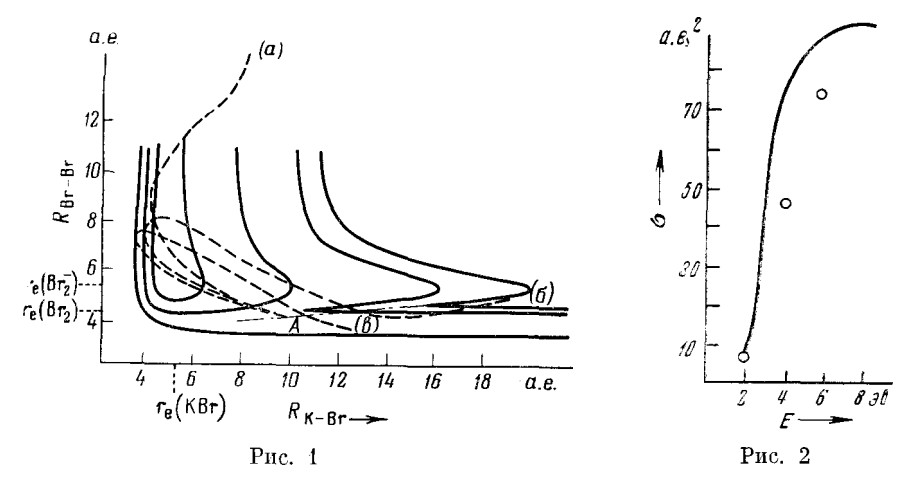


Рис. 1. Адиабатическая поверхность потенциальной энергии системы $\mathbf{K}+\mathbf{Br_2}$ Рис. 2. Сравнение экспериментальных величии сечений (сплошная кривая) с теоретическими (точки). Масштабный множитель $\sigma_{\mathfrak{HKCH}}$ выбран так, чтобы $\sigma_{\mathfrak{HKCH}}$ и $\sigma_{\mathfrak{TEOP}}$ совпадали при E=2 эв

Видно, что теория удовлетворительно описывает область возрастания сечения, подтверждея предложенный механизм реакции (3). Исследование вида траекторий, отвечающих почти полной дезактивации иона Вг. -, обнаруживает следующую интересную особенность. Как известно, эффективность превращения больших величин колебательной энергии в поступательную сильно зависит от характерной длины отталкивательной части потенциала. Однако вариация масштабного параметра в экспоненциальном потенциале отталкивания K от Br не привела к заметному изменению передаваемой энергии. Это связано с тем, что основная потеря колебательной энергии ионом Вг2- происходит на стадии сближения атомов Вг, причем атом Br, ближайший к иону K+ и удаляющийся от него, несет основную долю отрицательного заряда и тормозится в поле К⁺. Отсюда следует, что перераспределение заряда в ионе Br_2 - оказывает существенное влияние на динамику реакций (1) и (3) и является важнейшим фактором, который надлежит учитывать вслед за основным кулоновским взаимодействием.

В заключение заметим, что сравнительно простое исследование динамики процессов (1) и (3), пренебрегающее разветвлением траекторий в области неадиабатического взаимодействия между двумя низшими поверхностями потенциальной энергии системы $M+X_2$, связано со следующими особенностями взаимодействий. При $R\approx R_{\scriptscriptstyle B}$ система следует с подавляющей вероятностью по низшей адиабатической поверхности (исключение

^{*} Экспериментальные величины сечений $\sigma_{\text{эксп}}$ приведены в условных единицах; в работе (11), откуда они заимствованы, отмечается лишь, что максимальная величина сечения порядка 10 Å². Для сравнения $\sigma_{\text{эксп}}$ и $\sigma_{\text{теор}}$ масштабный множитель $\sigma_{\text{эксп}}$ был выбран так, чтобы величины $\sigma_{\text{эксп}}$ и $\sigma_{\text{теор}}$ совпадали при E=2 эв.

составляет лишь небольшая область вблизи конфигурации равнобедренного треугольника $\theta=\pi/2$), которая с достаточной точностью может быть построена из двух ломаных участков, один из которых относится к ковалентной поверхности, а другой к ионной. В частности при $R\approx R_s$, которые отвечают переходу траектории, ведущей к конечным состояниям K^+ и Br_2^- , через линию пересечения диабатических поверхностей (ковалентной и ионной), вероятность перехода приближается к единице *. Таким образом, обмен энергией при тесном сближении трех атомов ответствен также за то, что система входит в зону реакции по адиабатическому пути, а выходит по диабатическому. При увеличении относительной энергии K и Br_2 , когда могут образовываться сильно колебательно-возбужденные ионы Br_2^- , возможность неадиабатических переходов должна быть учтена введением вствления траектории при каждом переходе системы через линию квазипересечения ковалентной и ионной поверхностей.

Институт химической физики Академии наук СССР Москва

Поступило 29 XII 1971

ЦИТИРОВАННАЯ ЛИТЕРАТУРА

¹ Е. Е. Никитин, Теория элементарных атомно-молекулярных процессов в газах, 1970, стр. 51. ² D. R. Herschbach, Appl. Opt. Suppl., 2, 128 (1965). ³ Д. Р. Хершбах, в сборн. Исследование с молекулярными пучками, 1969. ¹ К. Т. Gillen, A. M. Rulis, R. B. Bernstein, J. Chem. Phys., 54, 2831 (1971). ⁵ Е. Е. Никитин, Теоретич. и эксп. хим., 4, 593 (1968). ⁶ Е. Е. Никитин, Теоретич. и эксп. хим., 4, 751 (1968). ⁷ N. Blais, J. Chem. Phys., 49, 9 (1968). ⁸ M. Godfrey, M. Karplus, J. Chem. Phys., 49, 3602 (1968). ⁹ C. Nyeland, J. Ross, J. Chem. Phys., 54, 1665 (1971). ¹⁰ G. G. Balint-Kurti, M. Karplus, Chem. Phys. Lett., 11, 203 (1971). ¹¹ A. P. M. Baede, A. N. C. Muntinho et al., Chem. Phys. Lett. 3, 530 (1969). ¹² A. P. M. Baede, J. Los, Physica, 52, 422 (1971). ¹³ A. A. Zembekov, Chem. Phys. Lett., 11, 415 (1971). ¹⁴ W. B. Person, J. Chem. Phys., 38, 109 (1963). ¹⁵ E. S. Rittner, J. Chem. Phys., 19, 1030 (1951).

 $^{^{*}}$ Оценки показывают, что вероятность неадиабатического перехода резко возрастает при увеличении расстояния R, отвечающего квазипересечению поверхностей.